

## Оптическая дифракция на двумерных фотонных структурах с гексагональной симметрией

© К.Б. Самусев<sup>1,2</sup>, М.В. Рыбин<sup>1,2</sup>, С.Ю. Лукашенко<sup>2,3</sup>, П.А. Белов<sup>2</sup>, М.Ф. Лимонов<sup>1,2</sup>

<sup>1</sup> Физико-технический институт им. А.Ф. Иоффе РАН, Санкт-Петербург, Россия

<sup>2</sup> Санкт-Петербургский национальный исследовательский университет информационных технологий, механики и оптики, Санкт-Петербург, Россия

<sup>3</sup> Институт аналитического приборостроения РАН, Санкт-Петербург, Россия

E-mail: M.Rybin@mail.ioffe.ru

(Поступила в Редакцию 1 декабря 2015 г.)

Методом аддитивной технологии лазерной литографии созданы фотонные структуры с гексагональной симметрией и исследованы их оптические свойства. Структура образцов изучалась методом сканирующей электронной микроскопии. Выполнены расчеты оптической дифракции в борновском приближении теории рассеяния для структур с ограниченным числом рассеивателей. Рассчитывались изображения, возникающие при монохроматическом освещении на плоском экране, расположенном за образцом. Картины дифракции на экране имеют симметрию  $C_{6v}$  и состоят из трех пересекающихся под углом  $120^\circ$  прямых и гипербол, число которых кратно шести. Важной особенностью этих картин является сверхструктура, т.е. разбиение прямых и гипербол на отдельные дифракционные рефлекссы, число которых определяется числом рассеивателей конкретного образца. Результаты экспериментального исследования дифракционных картин полностью совпадают с расчетными, включая число и расположение сверхструктурных рефлекссов.

Работа выполнена при финансовой поддержке РФФИ, грант 14-29-10172 (создание структур методом аддитивной технологии лазерной литографии) и гранта РФФИ 13-02-00186 (дифракционные эксперименты на созданных структурах).

### 1. Введение

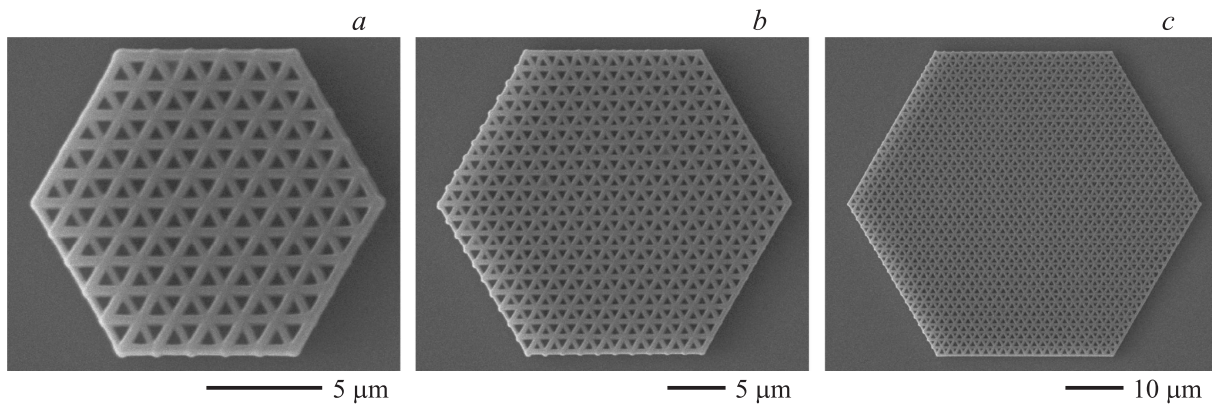
Дифракция представляет собой широко распространенное явление, которое наблюдается во всем диапазоне электромагнитных волн, а также при рассеянии различных частиц (электронов, нейтронов), проявляющих волновые свойства [1]. Классическим примером является брэгговская дифракция на периодически модулированных структурах при длинах волн, сопоставимых с пространственным периодом рассеивающей среды. Брэгговская дифракция приводит, в частности, к образованию запрещенных фотонных зон в энергетическом спектре собственных электромагнитных состояний фотонных кристаллов [2–5].

Идеальными объектами для исследования оптической дифракции на диэлектрических пространственно моделированных структурах оказались синтетические опалы [6–11]. Опалы образованы плотноупакованными сферическими частицами аморфного кварца  $a\text{-SiO}_2$ , которые формируют плотноупакованную гранецентрированную кубическую решетку [12–15]. Опалы обладают стоп-зонами в видимом спектральном диапазоне благодаря характерному размеру частиц  $a\text{-SiO}_2$  в несколько сотен нанометров [16]. Это определяет уникальную возможность изучать фотонные свойства не только традиционными методами, регистрируя с помощью спектрометра пропускание либо отражение, но и визуально

наблюдать картины дифракции света на экране, окружающем образец [17,18].

При исследовании оптической дифракции на опаловых структурах различной размерности был предложен оригинальный метод представления дифракционных картин в осях „угол падения света на образец  $\theta$  — угол регистрации дифрагированного света  $\Theta$ “ [5,18]. Как известно, 3D-брэгговская дифракция на объемных образцах сводится к зеркальному отражению пучка от систем плоскостей и описывается простым линейным соотношением  $\Theta = 2\theta$ . Следовательно, в декартовых координатах  $(\theta, \Theta)$  разрешенные брэгговские рефлекссы будут представлены в виде прямых параллельных между собой линий. В противоположность 3D-дифракции, в случае 2D-дифракции на тонких опаловых пленках экспериментально наблюдалась сложная нелинейная зависимость  $\Theta = f(\theta)$ , в результате чего на основе дифракционных картин удалось однозначно разделить режимы 2D- и 3D-дифракции [5,18].

Следует отметить, что идеальному 2D-объекту соответствует один опаловый слой, в частности — плоский ростовой слой опалов (111), который образован плотноупакованными в гексагональную решетку сферами  $a\text{-SiO}_2$ . Так как двумерная гексагональная решетка обладает симметрией  $C_{6v}$ , то можно предположить, что дифракционные картины также будут обладать симметрией  $C_{6v}$ . Действительно, эксперименты показали, что



**Рис. 1.** Изображения  $2D$ -структур, изготовленных методом лазерной литографии. Размеры образцов определяются по числу равносторонних треугольников на каждой из шести сторон гексагонального образца. Это число составляет 5 (*a*), 10 (*b*) и 20 (*c*) треугольников. У всех образцов сторона треугольника  $a = 1.5 \mu\text{m}$ . Изображения получены методом сканирующей электронной микроскопии.

при освещении пленки световым пучком по нормали к ростовой плоскости вдоль оси  $[111]$  картина дифракции характеризуется симметрией  $C_{6v}$  и состоит из шести интенсивных рефлексов, симметрично расположенных относительно падающего пучка [10,17]. Заметим, что в описанных в литературе экспериментах число рассеивающих частиц (сфер  $\alpha\text{-SiO}_2$ ) с учетом их плотной упаковки в опалах и диаметра сфер  $D \sim 0.5 \mu\text{m}$ , а также характерного размера светового пучка на образце  $\sim 1 \text{mm}^2$ , составляло  $\sim 10^6$ . Следовательно, пленки опала позволяют изучать  $2D$ -дифракцию на большом массиве рассеивателей. Отметим также, что в литературе сообщается об исследовании оптической дифракции на опалоподобных коллоидных структурах [19,20]. Кроме того, при помощи оптической дифракции изучались фотонные кристаллы со структурой „поленицы“ [21,22], изготовленные методом двухфотонной лазерной литографии [23]. Важно подчеркнуть, что во всех перечисленных выше работах исследовались образцы, состоящие из большого числа рассеивателей (более  $10^4$ ), в то время как оптическая дифракция на образцах с малым числом рассеивающих частиц ( $10^2$ – $10^3$ ) ранее практически не исследовалась. Цель данной работы — восполнить этот пробел в оптических исследованиях путем создания  $2D$ -образцов с симметрией  $C_{6v}$ , состоящих из малого числа рассеивающих частиц, и исследовать дифракцию на таких образцах экспериментально и теоретически.

## 2. Синтез образцов и исследование их структуры

В данной работе были изготовлены  $2D$ -фотонные структуры с микронным периодом с помощью аддитивной технологии двухфотонной лазерной литографии [23–25]. Как и в наших предыдущих работах [26,27], мы использовали установку и программное обеспечение фирмы Laser Zentrum Hannover (Германия). Использовался лазер TiF-100F (Авеста-Проект, Россия)

с центральной длиной волны  $780 \text{nm}$ , длительностью импульсов  $50 \text{fs}$  и частотой повторения  $80 \text{MHz}$ . В качестве фоторезиста применялся материал на основе пропоксиды циркония с фотоинициатором Irgacure 369 (Ciba Specialty Chemicals Inc., США). Образцы изготавливались путем сканирования объема фоторезиста относительно лазерного пучка, сфокусированного объективом с числовой апертурой  $NA = 1.4$ . Перемещение образца относительно лазерного пучка осуществлялось с помощью моторизованных линейных трансляторов с пневмоподвесом (Aerotech inc., USA).

Двумерные образцы в форме шестиугольников были получены путем создания трех пересекающихся наборов прямых параллельных полосок толщиной  $\sim 400 \text{nm}$  (рис. 1). Наборы полосок повернуты друг относительно друга на  $120^\circ$ , при этом вся структура имеет гексагональную симметрию  $C_{6v}$ . В результате такой процедуры получают структуры, образованные равносторонними треугольниками, как это видно на изображениях трех образцов, полученных методом сканирующей электронной микроскопии (рис. 1). Размеры образцов мы характеризовали параметром  $a \cdot N$ , где  $a$  — длина стороны каждого треугольника,  $N$  — число треугольников на границе образца. Эти стороны треугольников образуют одну из шести границ гексагонального образца, например  $N = 5, 10$  и  $20$  треугольников на рис. 1. Была изготовлена большая серия образцов с параметрами  $0.2 \mu\text{m} \leq a \leq 1.5 \mu\text{m}$ ,  $2 \leq N \leq 50$ .

## 3. Расчет дифракционных картин

Полученные методом двухфотонной лазерной литографии образцы характеризуются низким контрастом диэлектрической проницаемости полимеризованного материала полосок относительно воздуха  $\Delta\epsilon \sim 0.5$ . В этом случае оптическая дифракция описывается в борновском приближении теории рассеяния [18,28]. В этом приближении для теоретического описания рассеяния

света на системе произвольных диэлектрических частиц задачу удобно разделить на две подзадачи — о рассеянии электромагнитной волны на каждой из частиц, а также об изменении поля в зависимости от положения частицы. В борновском приближении, т. е. без учета многократного перерассеяния света на частицах, в дальней зоне рассеянное поле каждой из частиц можно описать при помощи двух множителей: форм-фактора и позиционного фактора. Форм-фактор  $f$  описывает рассеяние на частице как на индивидуальном рассеивателе, а позиционный фактор  $\exp(i\mathbf{q}\mathbf{r}_i)$  определяет фазу, которая связана с положением частицы относительно выбранного центра координат. В экспоненту, определяющую позиционный фактор, входит вектор рассеяния  $\mathbf{q} \equiv \mathbf{k}_i - \mathbf{k}_s$ , который равен разности волновых векторов падающей  $\mathbf{k}_i$  и рассеянной  $\mathbf{k}_s$  волн. Позиционный фактор по модулю равен единице, однако он представляет собой фазовый множитель, который непосредственно определяет условие интерференционного усиления или подавления дифракции в определенной точке пространства. В приближении однократного рассеяния света можно записать выражение для интенсивности дифрагированной волны в виде квадрата модуля суммы амплитуд рассеяния на каждой из частиц

$$I = \left| \sum_i f_i P_i \exp(i\mathbf{q}\mathbf{r}_i) \right|^2, \quad (1)$$

где  $\mathbf{r}_i$  — определяет координаты идентичных рассеивателей, т. е. частиц, имеющих одинаковый форм-фактор  $f$ . Рассмотрим случай, когда все рассеиватели одинаковые. Тогда мы можем вынести форм-фактор и поляризационный фактор  $P_i$  из суммы в выражении (1)

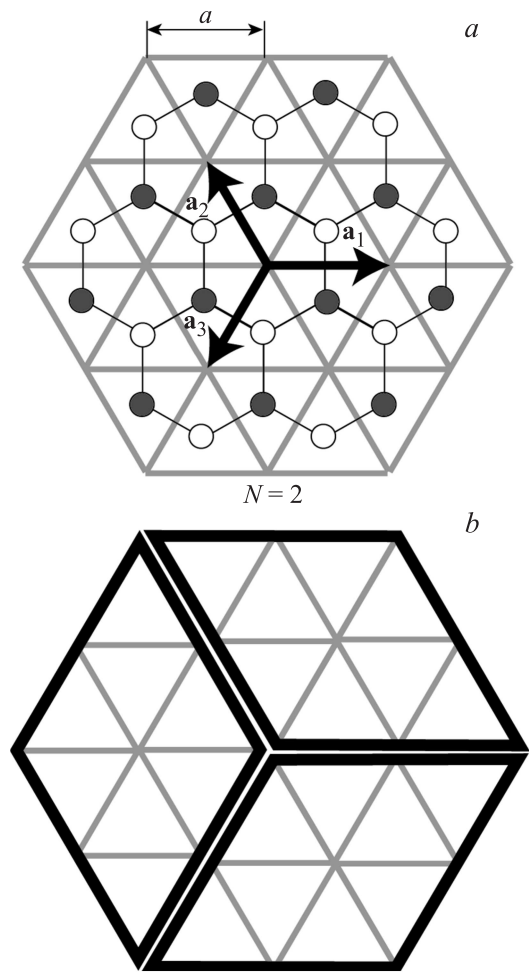
$$I = |f_i P_i|^2 \cdot \left| \sum_i \exp(i\mathbf{q}\mathbf{r}_i) \right|^2 = |f_i P_i|^2 \cdot |S(\mathbf{q})|^2, \quad (2)$$

где  $S(\mathbf{q})$  — сумма позиционных факторов (структурный фактор). Во многих случаях, включая наш случай низкоконтрастных двумерных структур, структурный фактор определяет основные особенности дифракционных картин. Отметим, что в формуле (1) не делается специальных предположений о том, что из себя представляет единичный рассеиватель. Это может быть отдельная частица или группа частиц (так называемая ячейка с базисом), либо отверстие (пустота) в пленке или пора в объемном материале. Заметим, что 2D-фотонную структуру, образованную набором отверстий в пленке, можно рассматривать как инвертированную по отношению к такому же набору рассеивателей в воздухе.

Рассмотрим периодическую двумерную структуру, т. е. структуру, состоящую из одинаковых рассеивателей, положение которых можно задать выражением

$$\mathbf{r}_i = \mathbf{a}_1 n_1 + \mathbf{a}_2 n_2, \quad (3)$$

где  $\mathbf{a}_j$  — вектора двумерной кристаллической решетки, целые числа  $n_j$  лежат в диапазонах  $0 \leq n_j < N_j$ ,



**Рис. 2.** (а) Схема изготовленной структуры с  $N = 2$ . Распределению полимерного материала соответствуют серые полосы.  $\mathbf{a}_j$  — базисные вектора треугольной решетки. Кружками обозначены узлы инвертированной структуры (пустоты). Черные тонкие линии задают решетку инвертированной структуры. Два цвета кружков определяют две возможные ориентации треугольников. (б) Схематическое представление разбиения гексагональной структуры на 3 параллелограмма.

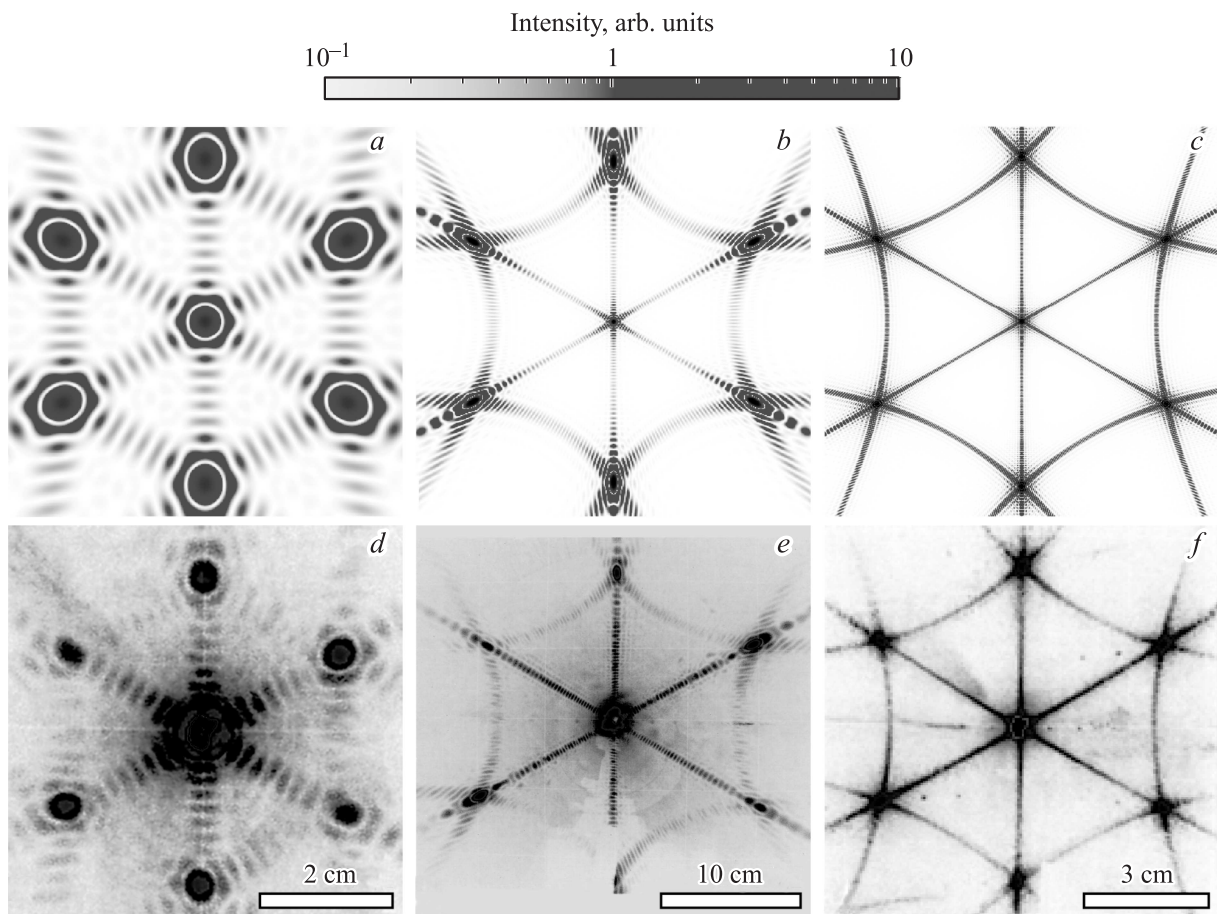
числа  $N_j$  определяют число рассеивателей, т. е. размер кристалла. В этом случае сумма экспонент вычисляется аналитически [29]

$$\sum_{n=0}^{N-1} \exp(inx) = \frac{\sin(Nx/2)}{\sin(x/2)} \exp(i(N-1)x/2). \quad (4)$$

Откуда получаем

$$S(\mathbf{q}) = \frac{\sin(N_1 \mathbf{q}\mathbf{a}_1/2)}{\sin(\mathbf{q}\mathbf{a}_1/2)} \frac{\sin(N_2 \mathbf{q}\mathbf{a}_2/2)}{\sin(\mathbf{q}\mathbf{a}_2/2)} \times \exp\left(i \frac{(N_1 - 1)\mathbf{q}\mathbf{a}_1 + (N_2 - 1)\mathbf{q}\mathbf{a}_2}{2}\right). \quad (5)$$

Формула (5) применима в том случае, если геометрические границы структуры являются параллелограммом,



**Рис. 3.** Расчетные (*a–c*) и экспериментальные (*d–f*) картины оптической дифракции на двумерных фотонных структурах с гексагональной симметрией при условии нормального падения монохроматического света ( $\lambda = 0.53 \mu\text{m}$ ) на образец. На панелях (*d–f*) представлены негативы фотографий экрана, расположенного за образцом. Параметры структур: (*d*)  $a = 1.5 \mu\text{m}$ ,  $N = 5$ ; (*e*)  $a = 0.8 \mu\text{m}$ ,  $N = 20$ ; (*f*)  $a = 1 \mu\text{m}$ ,  $N = 50$ . Над рисунком приведена шкала интенсивности для рассчитанных дифракционных картин. На панелях (*d–f*) приведены шкалы, характеризующие размер прямоугольного экрана. Расстояние от образца до экрана составляло 5 см (*d*), 10 см (*e*), 5 см (*f*). Углы отклонения рассеянного света, формирующего шесть рефлексов равны  $25^\circ$  (*d*),  $47^\circ$  (*e*),  $5 \text{ см}$  (*f*).

либо прямоугольником или квадратом, как частными параллелограммами [29].

Теперь перейдем к описанию структурного фактора шестиугольных образцов, изготовленных в данной работе методом двухфотонной лазерной литографии (рис. 1). Эти структуры обладают треугольной решеткой. Отметим, что для анализа решеток с симметрией  $C_{6v}$  принято выбирать три базисных вектора  $\mathbf{a}_1$ ,  $\mathbf{a}_2$  и  $\mathbf{a}_3$  (рис. 2) вместо двух, поскольку в таких решетках все три направления являются равноценными. При этом эти три вектора не являются линейно независимыми. Из рис. 1 видно, что полосы в структурах образуют пустоты треугольной формы, причем эти треугольники имеют две ориентации: „вверх“ и „вниз“. Центры этих треугольников отмечены белыми (ориентация треугольника „вверх“) и черными (ориентация „вниз“) кружками на рис. 2, *a*. Пара треугольников (треугольник „вверх“ + треугольник „вниз“) составляет базис элементарной ячейки изучаемой периодической структуры.

Для расчета картин дифракции мы разделили структуру на три области, ограниченные параллелограммами со сторонами, образованными парами базисных векторов  $(\mathbf{a}_1, \mathbf{a}_2)$ ,  $(\mathbf{a}_2, \mathbf{a}_3)$  и  $(\mathbf{a}_3, \mathbf{a}_1)$  (рис. 2, *b*). Для каждого из параллелограммов вычислялся структурный фактор  $S_{ij}(\mathbf{q})$  по формуле (5), используя соответствующую пару базисных векторов  $\mathbf{a}_i$  и  $\mathbf{a}_j$ , в предположении  $|Pf| = 1$ .

$$S_{12}(\mathbf{q}) = \frac{\sin(N\mathbf{q}\mathbf{a}_1/2)}{\sin(\mathbf{q}\mathbf{a}_1/2)} \frac{\sin(N\mathbf{q}\mathbf{a}_2/2)}{\sin(\mathbf{q}\mathbf{a}_2/2)} \exp\left(-i \frac{(N-1)\mathbf{q}\mathbf{a}_3}{2}\right), \quad (6a)$$

$$S_{23}(\mathbf{q}) = \frac{\sin(N\mathbf{q}\mathbf{a}_2/2)}{\sin(\mathbf{q}\mathbf{a}_2/2)} \frac{\sin(N\mathbf{q}\mathbf{a}_3/2)}{\sin(\mathbf{q}\mathbf{a}_3/2)} \exp\left(-i \frac{(N-1)\mathbf{q}\mathbf{a}_1}{2}\right), \quad (6b)$$

$$S_{31}(\mathbf{q}) = \frac{\sin(N\mathbf{q}\mathbf{a}_3/2)}{\sin(\mathbf{q}\mathbf{a}_3/2)} \frac{\sin(N\mathbf{q}\mathbf{a}_1/2)}{\sin(\mathbf{q}\mathbf{a}_1/2)} \exp\left(-i \frac{(N-1)\mathbf{q}\mathbf{a}_2}{2}\right). \quad (6c)$$

Структурный фактор для всего образца равен сумме структурных факторов для каждого из параллелограм-

мов с учетом поправки на начало координат параллелограммов

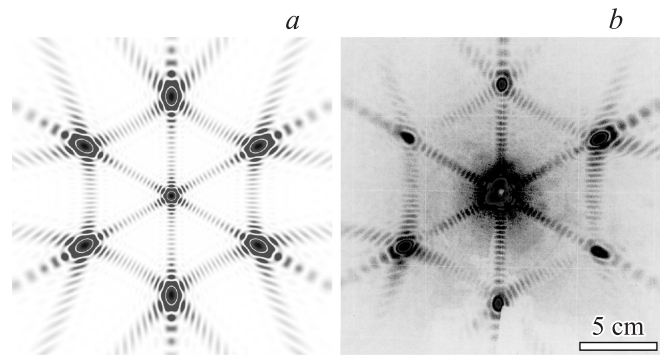
$$S(\mathbf{q}) = \exp\left(i \frac{\mathbf{q}\mathbf{a}_1}{2}\right) S_{12}(\mathbf{q}) + \exp\left(-i \frac{\mathbf{q}\mathbf{a}_1}{2}\right) S_{23}(\mathbf{q}) + \exp\left(i \frac{\mathbf{q}(\mathbf{a}_3 - \mathbf{a}_2)}{2}\right) S_{31}(\mathbf{q}). \quad (7)$$

Для расчета картин дифракции на плоском экране, параллельном образцу, мы пренебрегали угловой зависимостью факторов  $|f_i P_i|^2$ . Таким образом, интенсивность дифракционных картин пропорциональна квадрату модуля структурного фактора (7), помноженного на косинус угла, образованного нормалью к поверхности экрана и волновым вектором рассеянной волны  $\mathbf{k}_s$ . Результаты расчетов интенсивности дифракции приведены на рис. 3–6 в сравнении с экспериментальными данными. Параметрами расчета являются размер образца, заданный количеством треугольников  $N$ , постоянная решетки  $a$ , а также длина волны падающего света (в наших экспериментах использовался Nd-лазер с длиной волны  $\lambda = 0.53 \mu\text{m}$ ).

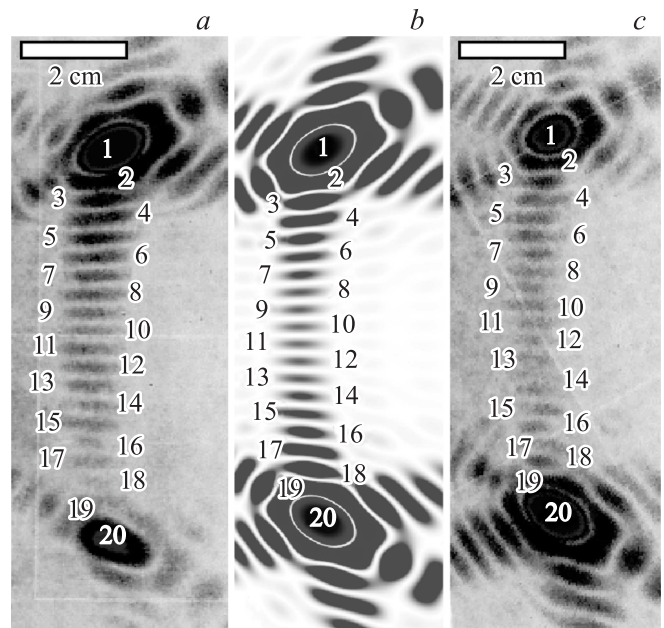
#### 4. Сверхструктура в картинах дифракции

Наблюдаемые картины дифракции изучались визуально и фотографировались на экране, расположенном за образцом, при освещении монохроматическим неполяризованным светом ( $\lambda = 0.53 \mu\text{m}$ ) в геометрии нормального падения лазерного луча на образец. Оптическая система обеспечивала полную засветку образца, чтобы все частицы рассеивали свет с одинаковой интенсивностью. Результаты экспериментального исследования дифракции монохроматического света приведены на рис. 3–6. Решетка двумерных образцов обладает гексагональной симметрией и соответственно расчетные и экспериментально наблюдаемые картины дифракции также характеризуется симметрией  $C_{6v}$ . Картины дифракции на экране состоят из трех пересекающихся под углом  $120^\circ$  прямых и гипербол, число которых кратно шести.

Основным результатом, который непосредственно следует из рис. 3–6, является наличие сверхструктуры, т.е. разбиения прямых и гипербол на отдельные дифракционные рефлексы, число которых определяется числом рассеивателей конкретного образца. На рис. 4, 5 представлен наиболее наглядный результат, а именно — дифракция на структуре с десятью треугольниками ( $N = 10$ ) на стороне гексагонального образца. Благодаря большой интенсивности дифракции и высокому разрешению на экспериментальных картинах рис. 5, *a, c* удается определить число отдельных рефлексов и сопоставить с результатом, который следует из расчетной дифракционной картины на рис. 5, *b*. Экспериментальные и расчетные результаты совпадают и сводятся к тому, что число отдельных дифракционных рефлексов на фрагментах гипербол между двумя наиболее интенсивными рефлексами (которые наблюдаются на пересечении

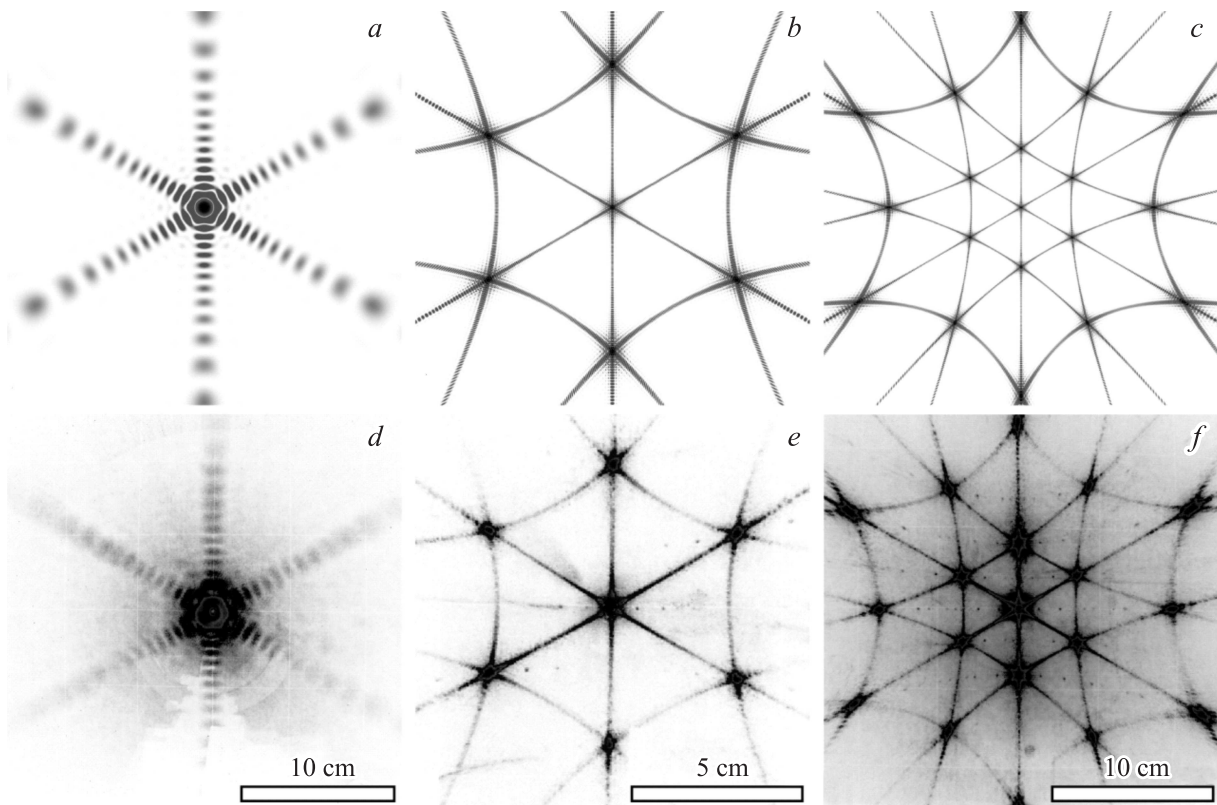


**Рис. 4.** Расчетная (*a*) и экспериментальная (*b*) картины оптической дифракции на двумерной фотонной структуре с гексагональной симметрией при нормальном падении монохроматического света ( $\lambda = 0.53 \mu\text{m}$ ) на образец. На панели (*b*) представлен негатив фотографии экрана, расположенного за образцом на расстоянии 8 см. Параметры структуры:  $a = 1 \mu\text{m}$ ,  $N = 10$ . На панели (*b*) приведена шкала, характеризующая размер прямоугольного экрана.



**Рис. 5.** Фрагменты экспериментальной (*a, c*) и расчетной (*b*) картин оптической дифракции, представленной на рис. 4, для 2D-фотонной структуры с параметрами  $a = 1 \mu\text{m}$  и  $N = 10$  при нормальном падении монохроматического света ( $\lambda = 0.53 \mu\text{m}$ ) на образец. На панелях (*a, c*) приведены шкалы, характеризующие размер прямоугольного экрана.

прямых и гипербол) в точности соответствует  $2N$ , т.е. удвоенному числу треугольников на стороне гексагона. Необходимо отметить, что в это число входят оба наиболее интенсивных рефлекса. Аналогично, расчетное число отдельных дифракционных рефлексов на фрагментах прямых от центрального рефлекса до интенсивного рефлекса на пересечении прямых и гипербол равно  $2N$  (число экспериментально наблюдаемых рефлексов опре-



**Рис. 6.** Расчетные (a–c) и экспериментальные (d–f) картины оптической дифракции на двумерных фотонных структурах с гексагональной симметрией при условии нормального падения монохроматического света ( $\lambda = 0.53 \mu\text{m}$ ) на образец. На панелях (d–f) представлены негативы фотографий экрана, расположенного за образцом. Параметры структур: (a, d)  $a = 0.5 \mu\text{m}$ ,  $N = 10$ ; (b, e)  $a = 1 \mu\text{m}$ ,  $N = 50$ ; (c, f)  $a = 1.5 \mu\text{m}$ ,  $N = 50$ . На панелях (d–f) приведены шкалы, характеризующие размер прямоугольного экрана.

делить затруднительно из-за сильного рассеяния проходящего лазерного луча в центре картины дифракции). В частности, для образца с  $N = 10$  число рефлексов на фрагментах гипербол и прямых равно 20 (рис. 4, 5).

При увеличении количества рассеивателей  $N$  число отдельных дифракционных рефлексов увеличивается как  $2N$ , в результате отдельные рефлексы начинают перекрываться и, в конце концов, сливаются в непрерывные прямые и гиперболы, у которых уже невозможно различить наличие сверхструктуры. Этот вывод иллюстрирует рис. 3, на котором приведены расчетные и экспериментальные картины оптической дифракции на структурах с числом треугольников  $N = 5, 20$  и 50.

### 5. Зависимость картин дифракции от постоянной решетки

На рис. 6 приведены экспериментальные и расчетные картины дифракции на 2D-структурах с гексагональной симметрией в зависимости от параметра решетки  $a$ . Видно, что при  $a = 0.5 \mu\text{m}$  в картинах дифракции наблюдаются лишь прямые линии, при  $a = 1 \mu\text{m}$  в дополнение к прямым появляются 6 гипербол, а при  $a = 1.5 \mu\text{m}$  наблюдается уже 12 гипербол. Этот результат можно

объяснить, опираясь на модель рассеяния света на частицах, расположенных на линейной цепочке с периодом  $a$  при освещении монохроматическим светом с длиной волны  $\lambda$  перпендикулярно оси цепочки. Из условия дифракции Лауэ можно получить следующее выражение, определяющее значение угла рассеяния света на цепочке:

$$\theta_s = \arccos\left(n \frac{\lambda}{a}\right), \quad (8)$$

где  $n$  — порядок рассеяния. Так как у функции  $\arccos(x)$  область определения аргумента выражается соотношением  $|x| \leq 1$ , нулевой порядок рассеяния ( $n = 0$ ) будет наблюдаться всегда, при этом  $\theta_s = 90^\circ$ , т.е. дифракция будет наблюдаться в плоскости, перпендикулярной оси цепочки. Следующие порядки дифракции ( $n = \pm 1, \pm 2, \dots$ ) наблюдаются при выполнении соотношения  $n\lambda \leq a$  и представляют собой пары конусов с осью, совпадающей с осью цепочки, и углами при вершине конуса  $2\theta_s$ . Таким образом, при  $a = 0.5 \mu\text{m}$  выполняется соотношение  $a < \lambda$  и рассеяние происходит лишь в трех плоскостях, перпендикулярных трем наборам цепочек. Соответственно на экране плоскости образуют три прямые линии, пересекающиеся под углом  $120^\circ$ . При  $a = 1 \mu\text{m}$  должны наблюдаться конусы, отвечающие

дифракции первого порядка, а при  $a = 1.5 \mu\text{m}$  — как первого, так и второго порядков. Если учесть, что линия пересечения конуса с плоским экраном описывается гиперболой, то мы приходим к выводу, что именно такая картина наблюдается экспериментально и получается в результате численных расчетов (рис. 6).

В области пересечения гипербол наблюдаются выраженные максимумы, которые описываются условиями Лауэ. В рассеянном излучении наблюдаются максимумы с отклонением от падающего излучения на угол  $\approx 38^\circ$  при  $a = 1 \mu\text{m}$  (рис. 6, *b, e*) и  $\approx 25^\circ$  при  $a = 1.5 \mu\text{m}$  (рис. 6, *c, f*). В эксперименте расстояние между образцом и экраном составляло величину от 5 до 10 см, при этом на экране соответствующий рефлекс наблюдался на расстоянии нескольких сантиметров от центрального пятна, образованного прошедшим лазерным лучом. По мере увеличения постоянной решетки углы и расстояния уменьшаются. В то же время в картинах дифракции на экране будут появляться дополнительные гиперболы, что приведет к появлению максимумов высших порядков (рис. 6, *c, f*).

## 6. Заключение

В настоящей работе выполнено экспериментальное и теоретическое исследование дифракции монохроматического света на двумерных образцах, созданных с помощью аддитивной технологии двухфотонной лазерной литографии. Фотонные структуры гексагональной симметрии в форме шестиугольников были получены путем создания трех наборов прямых параллельных полосок, развернутых друг относительно друга на  $120^\circ$ . Размер фотонных структур характеризуется длиной стороны треугольника  $a$  и числом треугольников  $N$ , формирующих одну сторону всего гексагонального образца. Была изготовлена и экспериментально исследована серия образцов с параметрами  $0.2 \mu\text{m} \leq a \leq 1.5 \mu\text{m}$ ,  $2 \leq N \leq 50$ .

В дифракционных картинах наблюдается сверхструктура, а именно — отдельные дифракционные рефлексы, число которых определяется количеством рассеивающих элементов. На каждом фрагменте гиперболы (который ограничен пересечением гиперболы с двумя прямыми линиями) и на каждом фрагменте прямой (который ограничен центральным рефлексом и пересечением прямой с двумя гиперболами) наблюдается  $2N$ -рефлексов, что соответствует удвоенному числу треугольников на стороне гексагона.

Авторы благодарят А.А. Каплянско, Ю.Э. Китаева и Ю.С. Кившаря за обсуждение результатов работы и критические замечания.

## Список литературы

- [1] J.M. Cowley, *Diffraction Physics*. Elsevier, Oxford (1985). 444 p.
- [2] E. Yablonovitch. *Phys. Rev. Lett.* **58**, 2059 (1987).
- [3] S. John. *Phys. Rev. Lett.* **58**, 2486 (1987).
- [4] J. D. Joannopoulos, S.G. Johnson, J.N. Winn, R.D. Meade. *Photonic crystals: Molding the Flow of Light*. Princeton University Press, Princeton–Oxford (2008). 304 p.
- [5] *Optical properties of photonic structures: interplay of order and disorder* / Eds M.F. Limonov, R.M. De La Rue. CRC Press, Taylor & Francis Group (2012). 566 p.
- [6] V.N. Astratov, V.N. Bogomolov, A.A. Kaplyanskii, A.V. Prokofiev, L.A. Samoilovich, S.M. Samoilovich, Yu.A. Vlasov. *Nuovo Cimento D* **17**, 1349 (1995).
- [7] Yu.A. Vlasov, X.Z. Bo, J.C. Sturm, D.J. Norris. *Nature* **414**, 289 (2001).
- [8] K. Wostyn, Y. Zhao, B. Yee, K. Clays, A. Persoons, G. Shaetzen, L. Hellemans. *J. Chem. Phys.* **118**, 10752 (2003).
- [9] А.В. Барышев, А.А. Каплянский, В.А. Кособукин, М.Ф. Лимонов, А.П. Скворцов. *ФТТ* **46**, 1291 (2004).
- [10] F. García-Santamaría, J.F. Galisteo-López, P.V. Braun, C. López. *Phys. Rev. B* **71**, 195112 (2005).
- [11] M.V. Rybin, K.B. Samusev, M.F. Limonov. *Photonics and Nanostructures-Fundamentals and Applications (PNFA)* **5**, 119–124 (2007).
- [12] H. Miguez, C. López, F. Meseguer, A. Blanco, L. Vázquez, R. Mayoral, M. Ocana, V. Fornés, A. Mifsud. *Appl. Phys. Lett.* **71**, 1148 (1997).
- [13] А.В. Барышев, А.В. Анкудинов, А.А. Каплянский, В.А. Кособукин, М.Ф. Лимонов, К.Б. Самусев, Д.Е. Усвят. *ФТТ* **44**, 1573 (2002).
- [14] В.Г. Голубев, В.А. Кособукин, Д.А. Курдюков, А.В. Медведев, А.Б. Певцов. *ФТП* **35**, 710 (2001).
- [15] J.F. Galisteo-López, M. Ibisate, R. Sapienza, L.S. Froufe-Pérez, Á. Blanco, C. López. *Adv. Matter* **23**, 30 (2011).
- [16] К.Б. Самусев, Г.Н. Юшин, М.В. Рыбин, М.Ф. Лимонов. *ФТТ* **50**, 1230 (2008).
- [17] А.К. Самусев, К.Б. Самусев, М.В. Рыбин, М.Ф. Лимонов, Е.Ю. Трофимова, Д.А. Курдюков, В.Г. Голубев. *ФТТ* **53**, 993 (2011).
- [18] M.V. Rybin, I.S. Sinev, A.K. Samusev, K.B. Samusev, E.Yu. Trofimova, D.A. Kurdyukov, V.G. Golubev, M.F. Limonov. *Phys. Rev. B* **87**, 125131 (1–8) (2013).
- [19] R.M. Amos, J.G. Rarity, P.R. Tapster, T.J. Shepherd, S.C. Kitson. *Phys. Rev. E* **61**, 2929 (2000).
- [20] L.M. Goldenberg, J. Wagner, J. Stumpe, B.R. Paulke, E. Gornitz. *Physica E (Amsterdam)* **17**, 433 (2003).
- [21] B. Brüser, I. Staude, G. von Freymann, M. Wegener, U. Pietsch. *Appl. Opt.* **51**, 6732 (2012).
- [22] К.Б. Самусев, М.В. Рыбин, А.К. Самусев, М.Ф. Лимонов. *ФТТ* **57**, 2420 (2015).
- [23] M. Farsari, B.N. Chichkov. *Nature Photon.* **3**, 450 (2009).
- [24] S. Kawata, H.-B. Sun, T. Tanaka, K. Takada. *Nature* **412**, 697 (2001).
- [25] A. Ovsianikov, J. Viertl, B. Chichkov, M. Oubaha, B. MacCraith, I. Sakellari, A. Giakoumaki, D. Gray, M. Vamvakaki, M. Farsari, C. Fotakis. *ACS Nano* **2**, 2257 (2008).
- [26] И.И. Шишкин, К.Б. Самусев, М.В. Рыбин, М.Ф. Лимонов, Ю.С. Кившарь, А. Гайдукевичуте, Р.В. Киян, Б.Н. Чичков. *Письма в ЖЭТФ* **95**, 518 (2012).
- [27] И.И. Шишкин, М.В. Рыбин, К.Б. Самусев, М.Ф. Лимонов, Р.В. Киян, Б.Н. Чичков, Ю.С. Кившарь, П.А. Белов. *Письма в ЖЭТФ* **99**, 614 (2014).
- [28] В.А. Кособукин. *ФТТ* **47**, 1954 (2005).
- [29] A. Guinier. *X-ray diffraction in crystals, imperfect crystals, and amorphous bodies*. Dover Publ., N.Y. (2013). 400 p.